

まえがき

河川わん曲部における高水敷は、値水路の維持とともに、わん曲部外岸に発生しやすい局所沈掘を、低水護岸沿いに生じさせること、および高水敷の流速減少効果により堤防付近に大流速の発生を避け、ともに高水堤防の安全性を高める作用を有する。近年河道掘削によって河道断面を、人工的に大規模に作りかえる例や都市河川における高水敷の整備が取り上げられるが、高水流量を対象とした場合に、わん曲部の高水敷の中や高土と流木の相互効果など、河道設計上水理的な検討を施しておく必要のある問題が少なくなる。このような問題を考えゆく場合、複断面のときの横断方向の比エネルギー一定あるいは自由渦や強制渦といった仮定について検討する必要があるが、ここでは河川工学的に非常に興味深いところの、値水路の大まな流速が高水敷に垂り上がって、高水敷の肩付近を沈掘する現象について考えてみる。

解析

河川わん曲部の流木に円柱座標を適用した場合、流木には軸のまわりの回転(渦度成分でいえば Ω_z) が現れることが、らせん流として特徴づけられる。今鉛直方向(z軸)の流速成分及びが無視できるような水路中央部付近の流木について考えると、定常状態での運動方程式のうち、とろ向成分に因る式は

$$\frac{\partial V^2}{\partial r} - V_\theta \Omega_z = -\frac{1}{\rho} \frac{\partial p}{\partial r} - g \frac{\partial h}{\partial r} \quad (1)$$

$$\left. \begin{aligned} V^2 &= V_\theta^2 + V_r^2 \\ \Omega_z &= \frac{1}{r} \left(\frac{\partial r V_\theta}{\partial r} - \frac{\partial V_r}{\partial \theta} \right) \end{aligned} \right\} \quad (2)$$

である。村本博士により定義されたわん曲流の発生域では、直線流からの流速分布のずれがあまり大きくないと考えられるので、つぎのように分割する。

$$V_r = V_{r0}(r, z) + V_r'(r, \theta, z) \quad (3)$$

わん曲角度0度の断面における流速分布と流向との実験結果によれば、水面付近では接線方向の流速成分のみであるが、河床付近ではすでに内岸向きの流向となっていることを考慮して V_{r0} とおいた。すなわち水面では $V_r = 0$ 、河床面付近では V_{r0} は有限の値をもつ。 V_r' の発生が、流木がわん曲部に流入して、半径方向に一定の加速度 $-g/r$ が作用し、また鉛直方向の流速分布が存在するためによるものであるという従来の考え方をとれば、半径 r の位置における平均流速 V_{0m} による半径方向加速度と水面勾配 η が釣り合うとすれば (4) 式を得る。ここに V_{0m} は鉛直方向の平均流速で、後述のように対数流速分布を仮定できるような場合には $z_m = 0.367$ (ただし全水深) の位置に現れる。

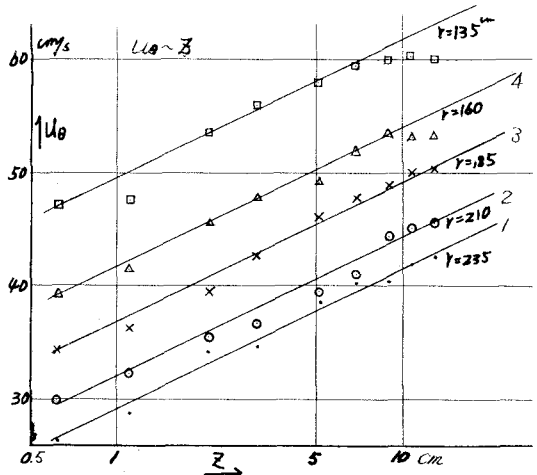


図-1 15°断面の流速分布

(1)式を考えている時に(4)式のような置き方をすると
 は一般に好ましくなく、実際によれば $Z = Z_m$ のとき

$$-\frac{V_{0m}^2}{F} = -\frac{\partial P}{\partial r} = -\frac{1}{F} \frac{\partial P}{\partial r} \quad (4)$$

$V_0 = V_{0m}$, $V_r = \text{const} = 0$ という実験結果があるとき、および今小さな量 V_r' を考えているとき
 によって(4)式を考えても差し支えないと思われる。(1), (3) および(4)式により、 $\frac{\partial V_r'}{\partial r}$ の項を
 無視すると(5)式が、また V_0 の θ 方向変化を無視すると、それぞれ(6)式が得られる。

$$\frac{\partial V_r'}{r \partial \theta} = (V_0^2 - V_{0m}^2) / r V_0 \quad (5) \quad \frac{1}{r \partial \theta} \left(\frac{V_r'}{V_0} \right) = \left\{ 1 - \left(\frac{V_{0m}}{V_0} \right)^2 \right\} \frac{1}{F} \quad (6)$$

とすると図-1の実験結果に示すように、発生域では V_0 に対して対数流速分布を仮定してもよ
 うであり、このとき摩擦速度 U_* をほぼ一定として

$$U_0 = 5.75 U_* \cdot f(t) \cdot \log M Z \quad (7) \quad U_{0m} = 5.75 U_* \cdot f(t) \cdot \log M Z_m \quad (8)$$

$f(t)$ は、 I_{ppm} の仮定を使用し自由渦領域に対しては

$$f(t) = \frac{V_m \sqrt{r_c^2 - \frac{B^2}{4}}}{5.75 U_* \log M Z_m} \cdot \frac{1}{F} \quad (9)$$

が得られる。ここに $\log M = (8.5 - 5.75 \log R_0) / 5.75$,
 又は河床からの距離 r を無次元化した量である。
 また V_r は断面平均流速、 r_c は水路中心曲率半径、 B
 は水路幅である。このとき(5), (6)式は

$$\frac{\partial V_r'}{r \partial \theta} = V_m \sqrt{r_c^2 - \frac{B^2}{4}} \cdot \frac{1}{F^2} \left(\frac{\log M Z_m}{\log M Z} - \frac{\log M Z_m}{\log M Z} \right) \quad (5')$$

$$\frac{\partial}{\partial \theta} \left(\frac{V_r'}{V_0} \right) = \frac{1}{F} \left\{ 1 - \left(\frac{\log M Z_m}{\log M Z} \right)^2 \right\} \quad (6')$$

(5')式は $r = \text{const}$ の線上に沿う V_r' の変化が一定である
 ことを、(6')式は流向の変化を示す。なお(5')は local
 vorticity を表わし、断面スケールの外へは異なる。

(6')式の V_r'/V_0 は流向が接線方向となる角度 θ であり

$$\frac{V_r'}{V_0} \sim \left\{ 1 - \left(\frac{\log M Z_m}{\log M Z} \right)^2 \right\} \theta \quad (10)$$

の関係が見
 られるのである。例えば $B=1.7$, $r_c=1.85$ の 90°
 の内曲水路で、 $F_r=0.4$ のとき流速と流向をヒート管で

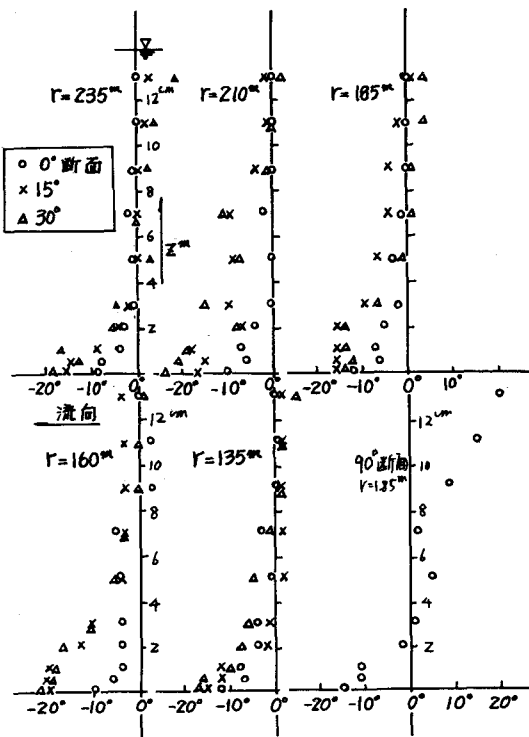


図-2

図-3

測定した結果は図-2のようであった。同図によれば、各水深位置の流向は水深のみに関係して θ 方向へ変化
 が少なく下流方向へ中につれて、流向が増加する(6')の傾向が見られる。以上の検討に見られるように
 発生域では V_r' が徐々に発達してゆく。 V_r' 成分の発生は、水中に没した高水敷に低水路の流水が乗り上がる
 ことを意味する。一般に窄河門では発生域に比べて偏角が小さい場合が多いが、内曲部の下流端付近の高水敷ほど
 低水路の流速に近くなる場合が多い。つまり完全発達域では、我々の実験によると(7)式(8)式の仮定がもはや成り立た
 ないようであり、従って以上の簡単な解析を続行できないが、 90° 断面における流向測定例をあげると図-3のようである。
 図-2の発生域にくらべて、断面付近の流向には大きな差が見られるが、水筒付近の流向は極端に外岸を向いており
 1本の V_r' も発生域に比べて小さく、高水敷噴水面保護に必要でないと思われる。なお今後、横断面流速分布、噴水面付近の下降流
 などについて検討を続ける予定である。